



杭州电子科技大学

《电力电子技术》

第4章 交流-直流变换技术



自动化学院

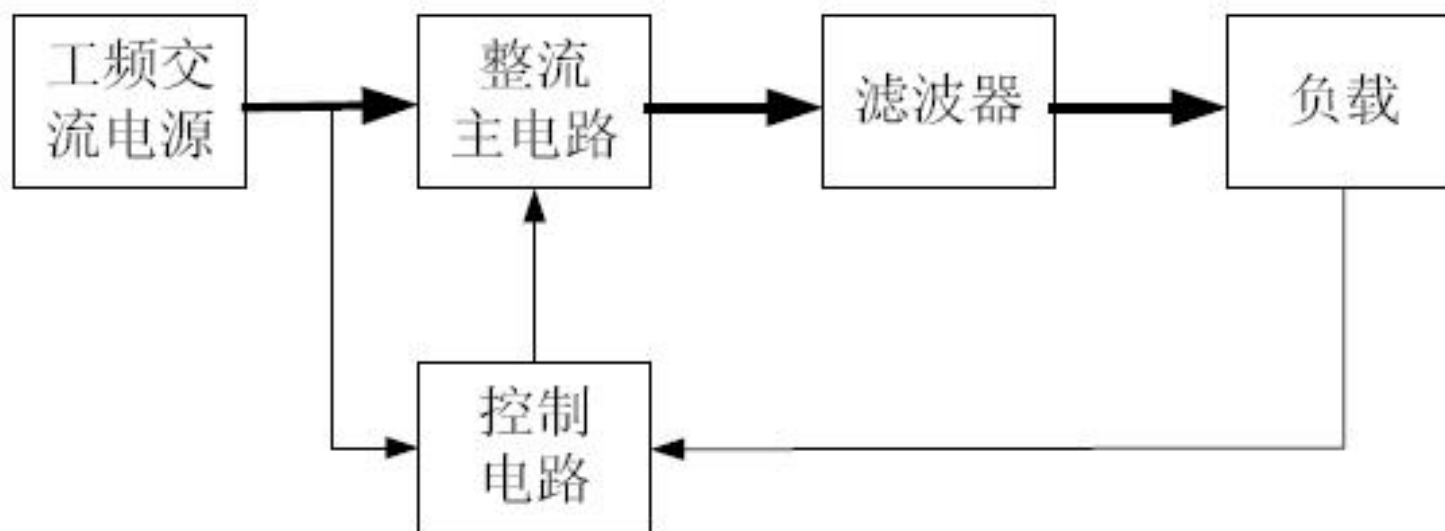
4.0 概 述

➤ P200 1

P200 2

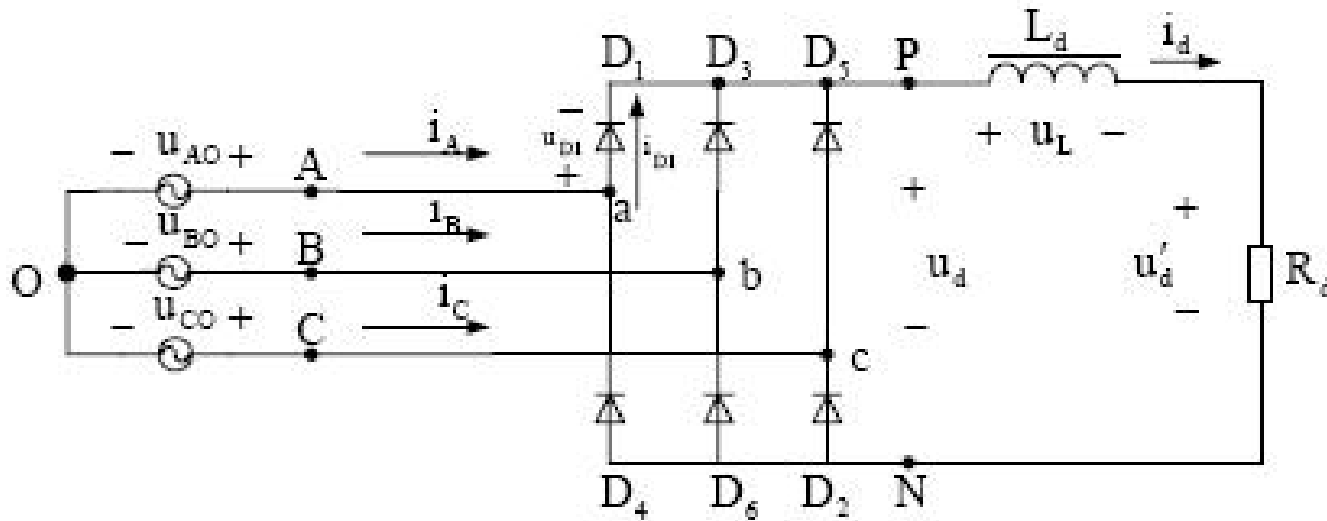
P200 3

可控整流电路的一般结构



4.1 电感滤波的不可控整流电路

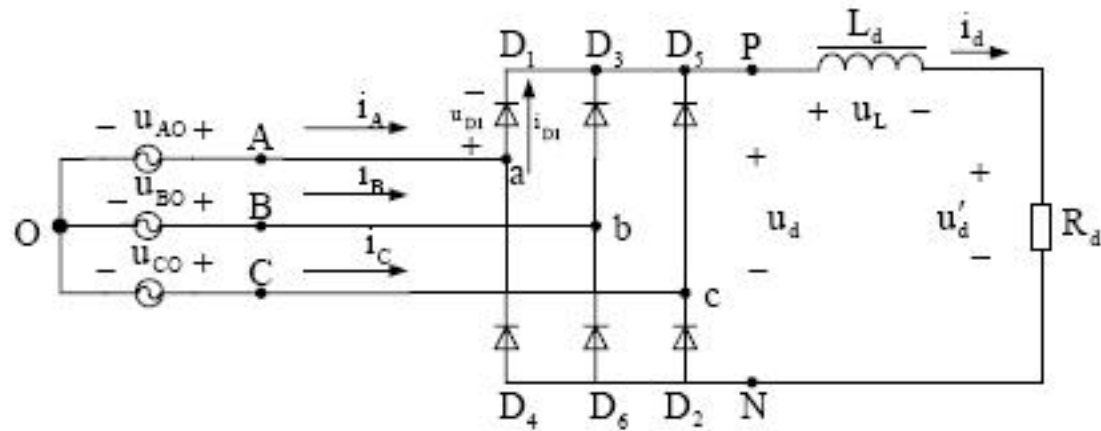
P202 2



理想条件：

p202 1

电路分析



②直流侧输出电压

$$u_d = u_{PO} - u_{NO}$$

$$u_{PO} = \begin{cases} u_{AO} & D_1 \text{导通时} \\ u_{BO} & D_3 \text{导通时} \\ u_{CO} & D_5 \text{导通时} \end{cases}$$

$$u_{NO} = \begin{cases} u_{AO} & D_4 \text{导通时} \\ u_{BO} & D_6 \text{导通时} \\ u_{CO} & D_2 \text{导通时} \end{cases}$$

$$u_d = \begin{cases} u_{AB} & D_1 D_6 \text{导通时} \\ u_{AC} & D_1 D_2 \text{导通时} \\ u_{BC} & D_2 D_3 \text{导通时} \end{cases}$$

$$\begin{aligned} u_{BA} & D_3 D_4 \text{导通时} \\ u_{CA} & D_4 D_5 \text{导通时} \\ u_{CB} & D_5 D_6 \text{导通时} \end{aligned}$$

P204 1

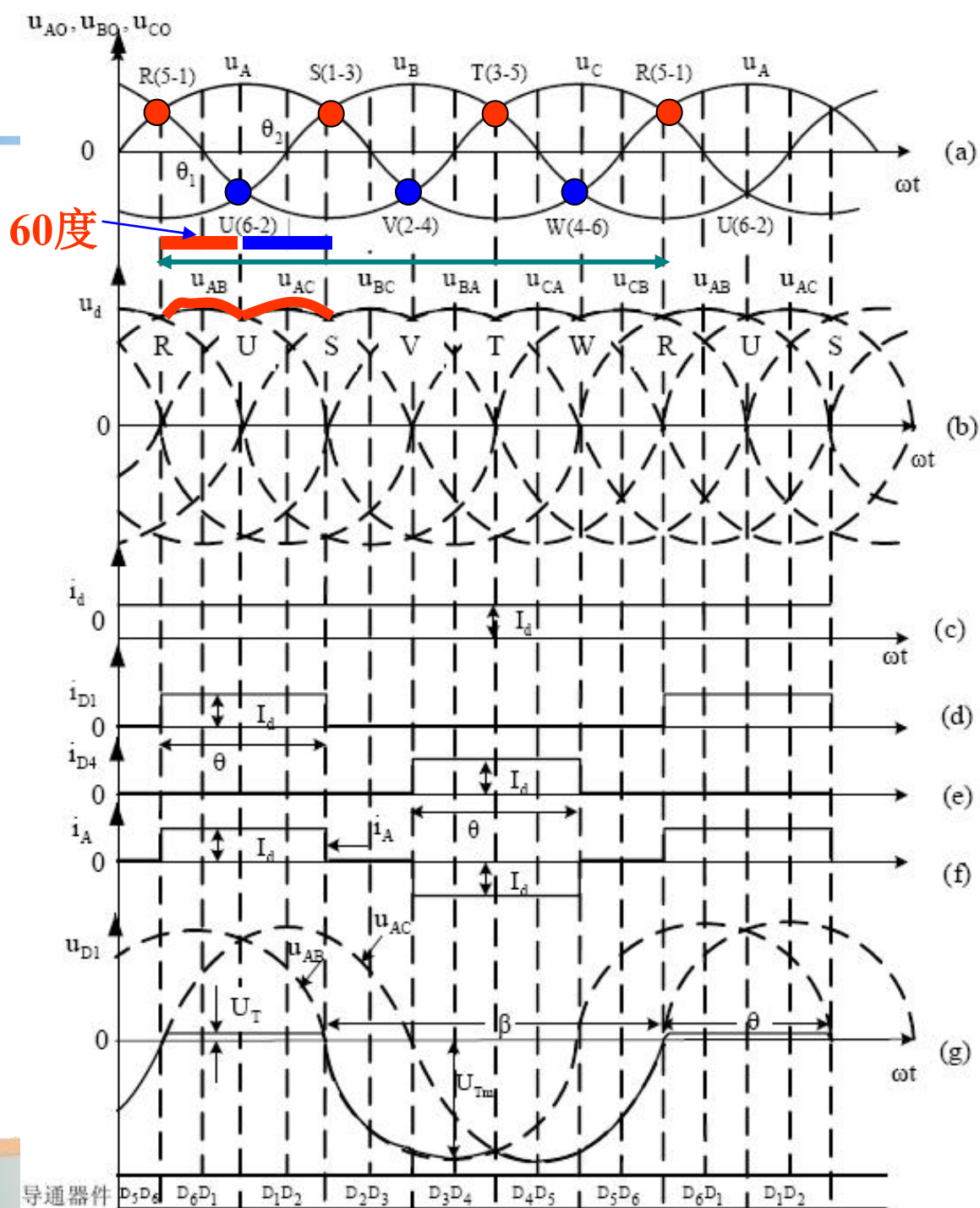
P204 2

P204 3

上管的导通顺序: RST (135)

下管的导通顺序: UVW (246)

任何时候上下只有各一只器件导通, 一个周期内每一器件的导电角度: 120度



主电量计算

① 整流电路输出电压平均值和谐波：

整流电路输出电压是非正弦的时间周期函数。 u_d 包含直流分量和多次谐波分量。

将 u_d 用傅里叶级数表示：

$$u_d = U_d + \sum_{n=1}^{\infty} a_n \sin n\omega t + \sum_{n=1}^{\infty} b_n \cos n\omega t = U_d + \sum_{n=1}^{\infty} C_n \cos(n\omega t - \theta_n)$$

式中

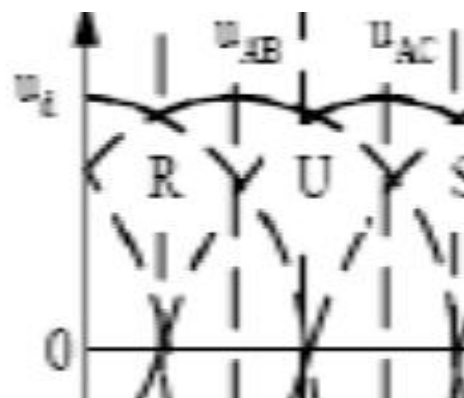
$$c_n^2 = a_n^2 + b_n^2$$

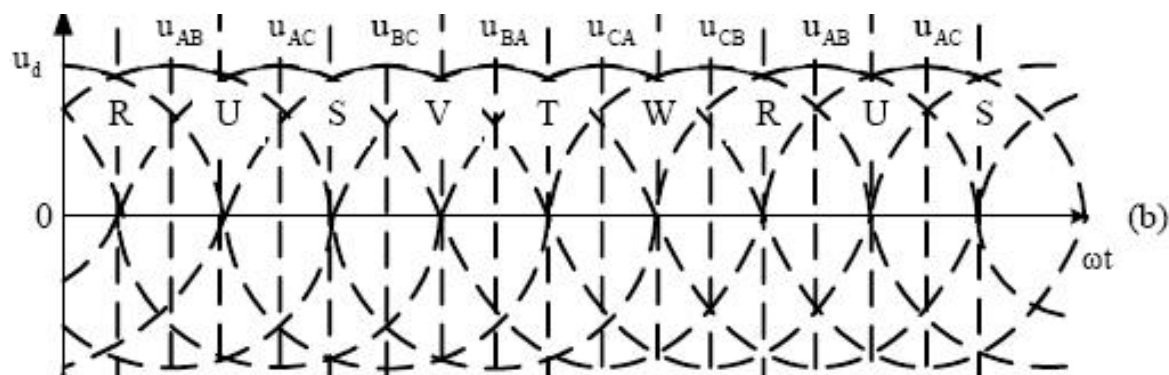
$$\theta_n = \operatorname{tg}^{-1} \frac{a_n}{b_n}$$

$$a_n = \frac{1}{\pi} \int_0^{2\pi} u_d \sin n\omega t d\omega t$$

$$b_n = \frac{1}{\pi} \int_0^{2\pi} u_d \cos n\omega t d\omega t$$

$$U_d = \frac{1}{2\pi} \int_0^{2\pi} u_d d\omega t$$





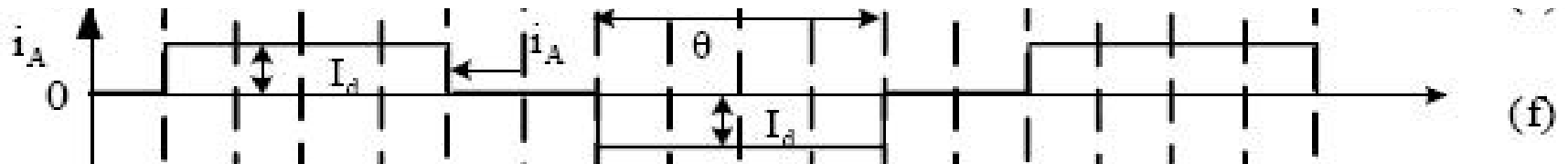
注意到各脉动区间 u_d 的变化规律相同； u_d 中不含奇次谐波；偶次谐波中最低为六次；高次谐波为六的整数倍，故上式组可改写为

$$U_d = \frac{1}{2\pi} \int_0^{2\pi} u_d d\omega t = \frac{3}{\pi} \int_{\pi/6}^{\pi/2} u_{AB} d\omega t = \frac{3}{\pi} \int_{\pi/6}^{\pi/2} \sqrt{6}U_2 \sin(\omega t + \frac{\pi}{6}) d\omega t = \frac{3\sqrt{6}}{\pi} U_2 \quad (5.10)$$

$$a_n = \frac{6}{\pi} \int_{\pi/6}^{\pi/2} \sqrt{6}U_2 \sin(\omega t + \frac{\pi}{6}) \sin n\omega t d\omega t \quad (5.11)$$

$$b_n = \frac{6}{\pi} \int_{\pi/6}^{\pi/2} \sqrt{6}U_2 \sin(\omega t + \frac{\pi}{6}) \cos n\omega t d\omega t \quad (5.12)$$

式中 $n=6k, k=1,2,3 \dots$



②线电流有效值:

$$I_A = \sqrt{\frac{1}{2\pi} \int_0^{2\pi} i_A^2 d\omega t}$$

图 5.2(f)所示:

$$i_A = i_{D1} - i_{D4} = \begin{cases} I_d & , (\pi/6 < \omega t < 5\pi/6) \\ 0 & , (5\pi/6 < \omega t < 7\pi/6, 11\pi/6 < \omega t < 13\pi/6) \\ -I_d & , (7\pi/6 < \omega t < 11\pi/6) \end{cases}$$

因此

$$I_A = \sqrt{\frac{1}{2\pi} [I_d^2 \times \frac{2\pi}{3} + (-I_d)^2 \times \frac{2\pi}{3}]} = \sqrt{\frac{2}{3}} I_d = 0.816 I_d$$

③线电流基波有效值:

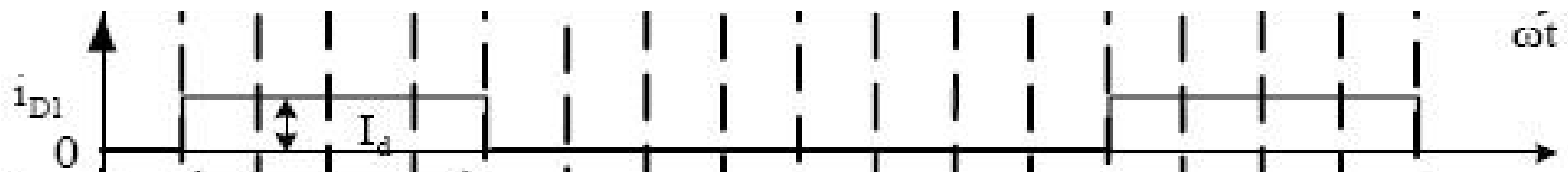
利用傅里叶级数展开 i_A 可得

$$\begin{aligned} i_A &= \frac{2\sqrt{3}}{\pi} I_d (\sin \omega t - \frac{1}{5} \sin 5\omega t - \frac{1}{7} \sin 7\omega t + \cdots + \frac{1}{n} \sin n\omega t) \\ &= I_{A1m} \sin \omega t - I_{A5m} \sin 5\omega t - I_{A7m} \sin 7\omega t + \cdots + I_{Ann} \sin n\omega t \end{aligned}$$

式中:

$$\text{线电流基波幅值 } I_{A1m} = \frac{2\sqrt{3}}{\pi} I_d$$

$$\text{线电流基波有效值 } I_{A1} = \frac{I_{A1m}}{\sqrt{2}} = \frac{\sqrt{6}}{\pi} I_d = 0.78 I_d$$



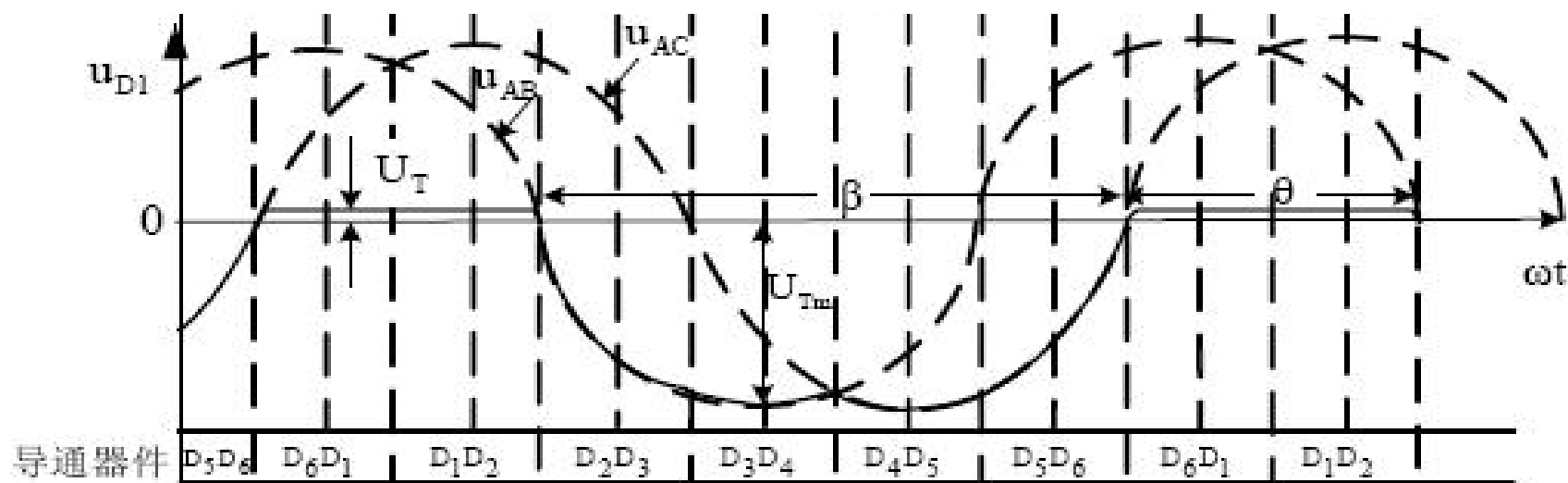
④ 二极管电流平均值（以器件 D_1 为例）：

$$I_{D0} = \frac{1}{2\pi} \int_0^{2\pi} i_{D1} d\omega t$$

图 5.2(d)所示：

$$i_{D1} = \begin{cases} I_d & , (\pi/6 < \omega t < 5\pi/6) \\ 0 & , (5\pi/6 < \omega t < 13\pi/6) \end{cases}$$

因此
$$I_{D0} = \frac{1}{2\pi} I_d \times \frac{2\pi}{3} = \frac{I_d}{3}$$



⑤ 二极管端压 (以器件 D_1 为例):

当 D_1 导通时, 其端压为二极管通态电压。当 D_3 导通时, $u_{p0} = u_{B0}$, 因此其端压为 u_{AB} 。当 D_5 导通时, $u_{p0} = u_{C0}$, 因此其端压为 u_{AC} 。如图 5.2 (h) 所示。

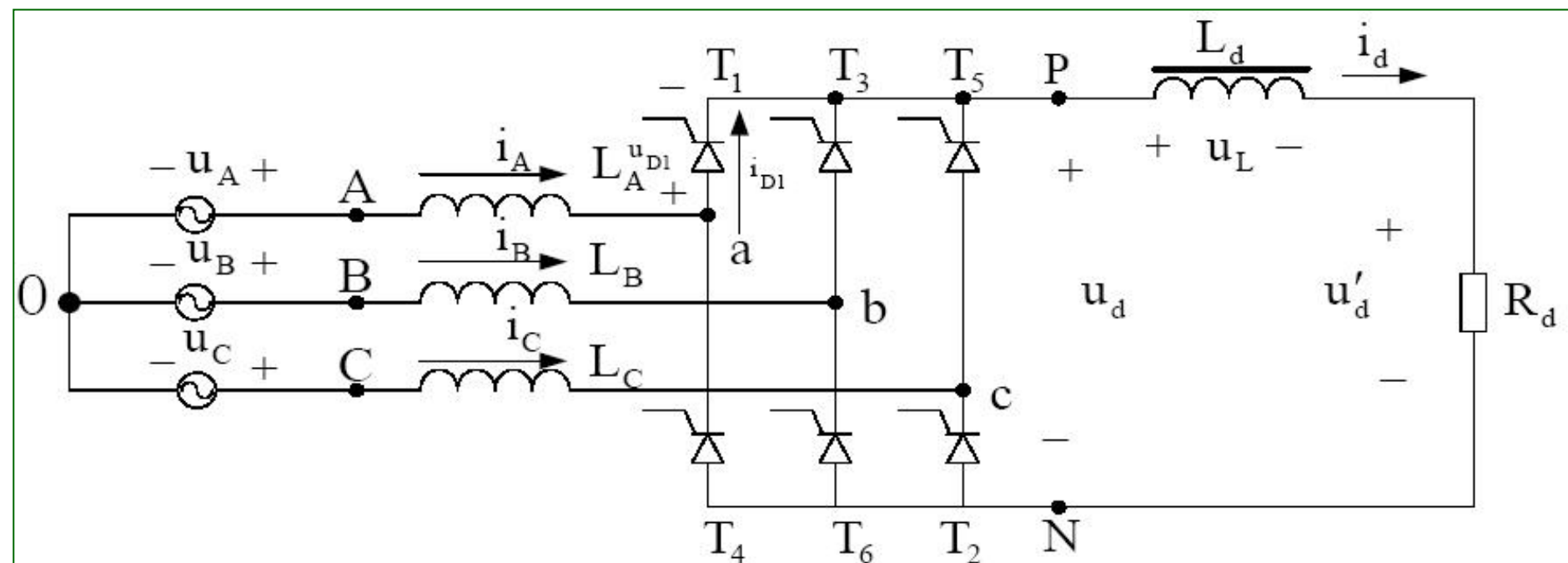
$$u_{D1} = \begin{cases} U_{T0} & , \quad D_1 \text{导通时} \\ u_{AB} & , \quad D_3 \text{导通时} \\ u_{AC} & , \quad D_5 \text{导通时} \end{cases}$$

二极管端压峰值 $U_{Tm} = U_{Fm} = \sqrt{6}U_2$

(5.19)

5.2 电感滤波的晶闸管可控整流和有源逆变电路

P207 1



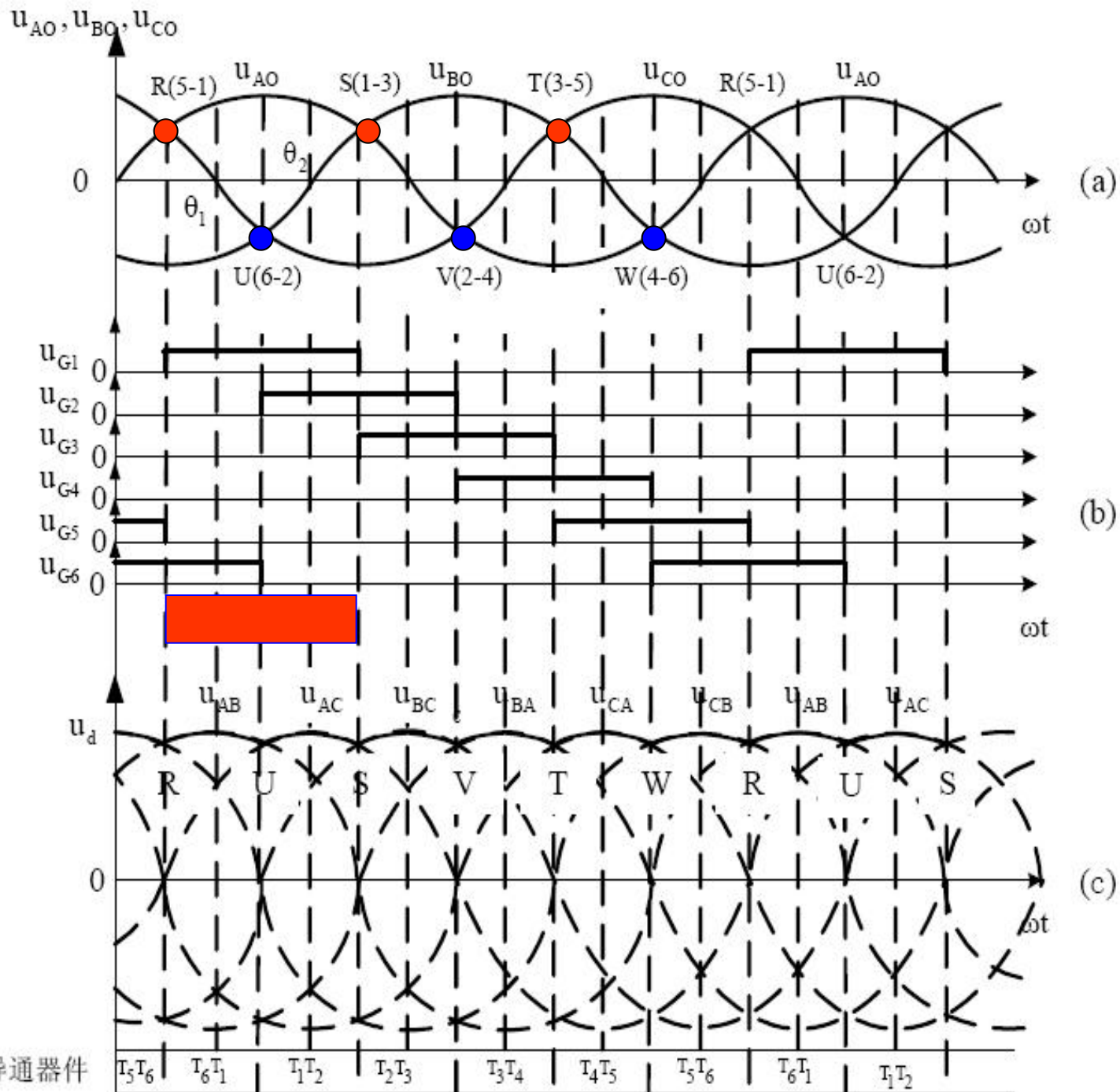
$L_{abc}=0$

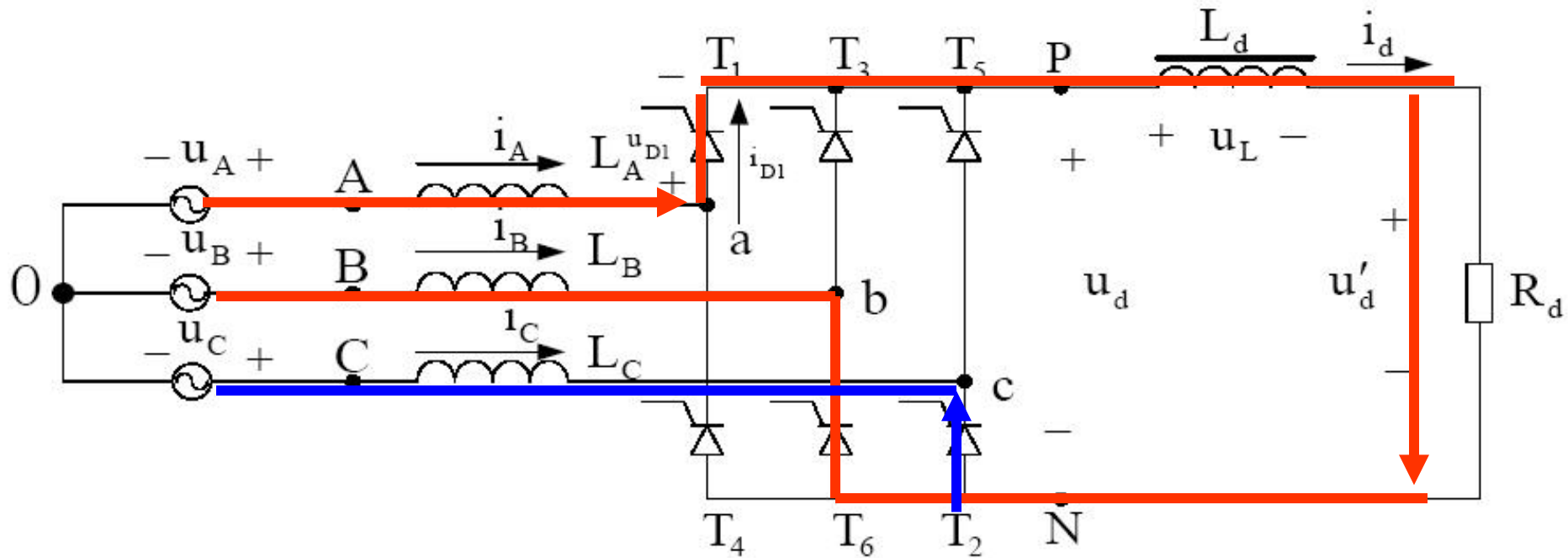
P208 1

P208 2

$\alpha = 0$

P209 1

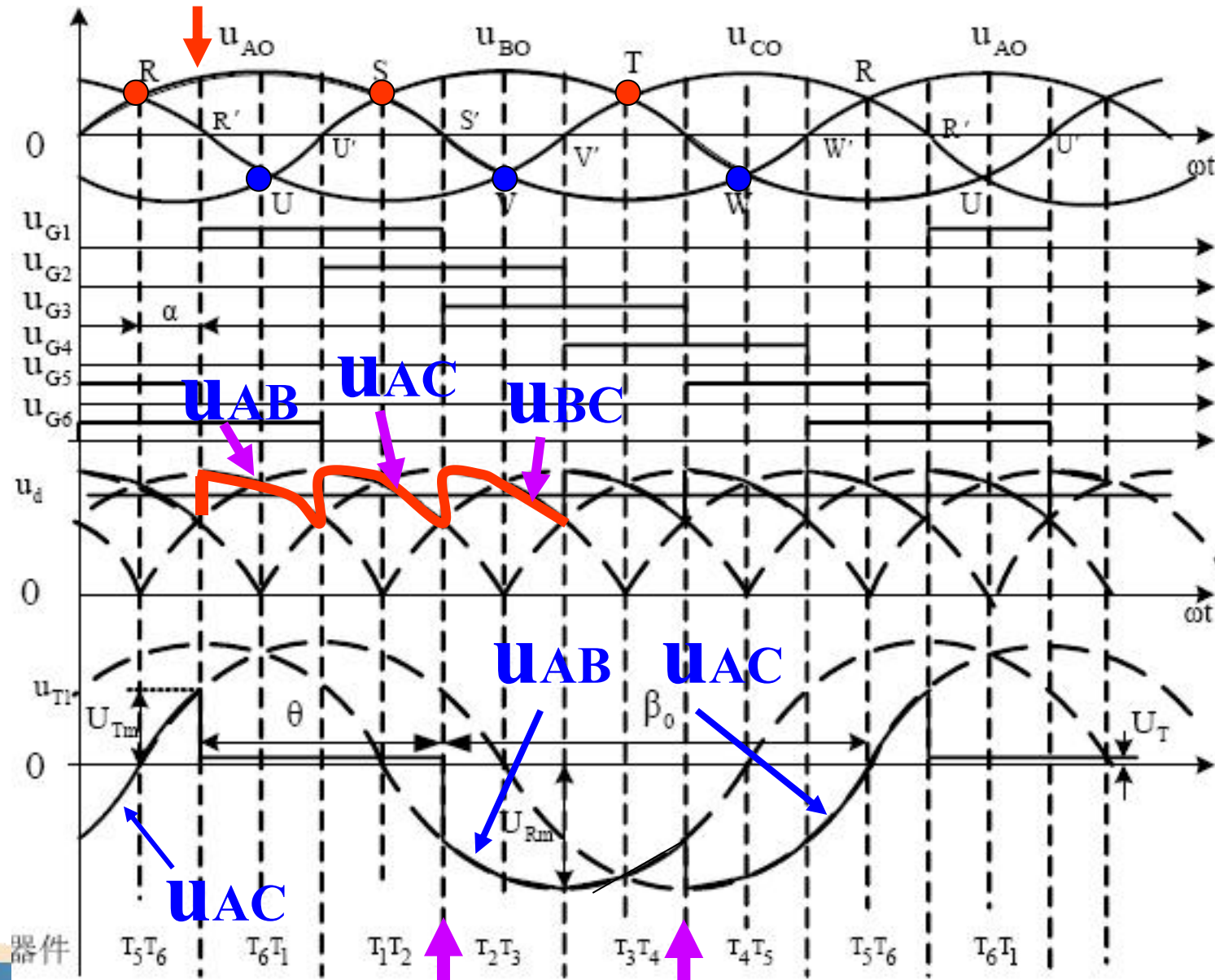




电流路经

各导通120度

$$\alpha = \pi / 6$$



输出平均电压 U_d

$$U_d = \frac{1}{2\pi} \int_0^{2\pi} u_d d\omega t = \frac{3}{\pi} \int_{\pi/6+\alpha}^{\pi/2+\alpha} \sqrt{6}U_2 \sin(\omega t + \frac{\pi}{6}) d\omega t$$

30° u_{AB}

$$= \frac{3\sqrt{6}}{\pi} U_2 \cos \alpha = U_{d0} \cos \alpha$$

式中 $U_{d0} = (3\sqrt{6}/\pi)U_2$

结论：调节控制角可以改变 $U_d = 0 \sim U_{d0}$
或 $= -U_{d0} \sim 0$

分界点： $\alpha = \pi / 2$

整流或逆变

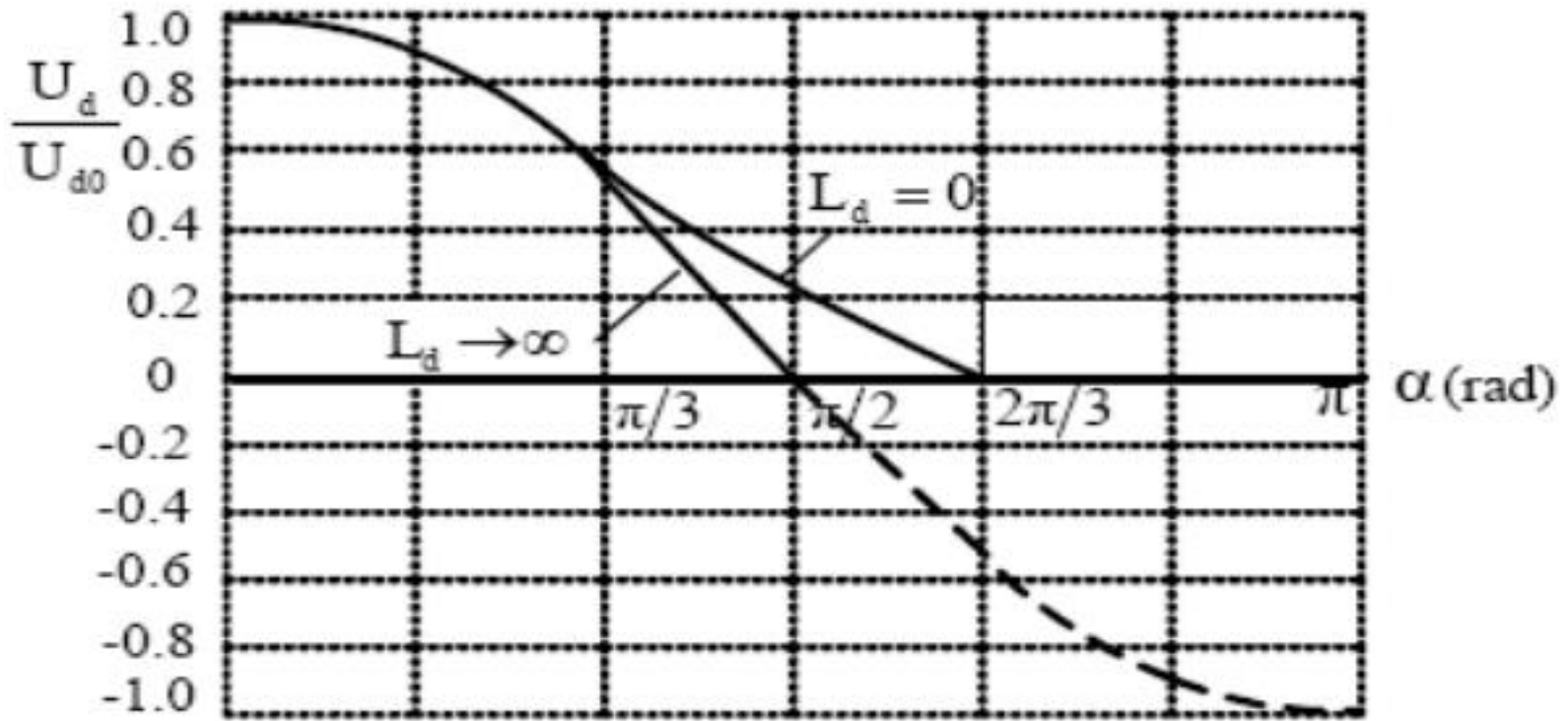


图 5.8 三相桥式整流电路的控制特性

P211 1

5.2.2 负载性质对整流电路性能的影响

5.2.2.1 纯阻性负载 ($L_d=0$)

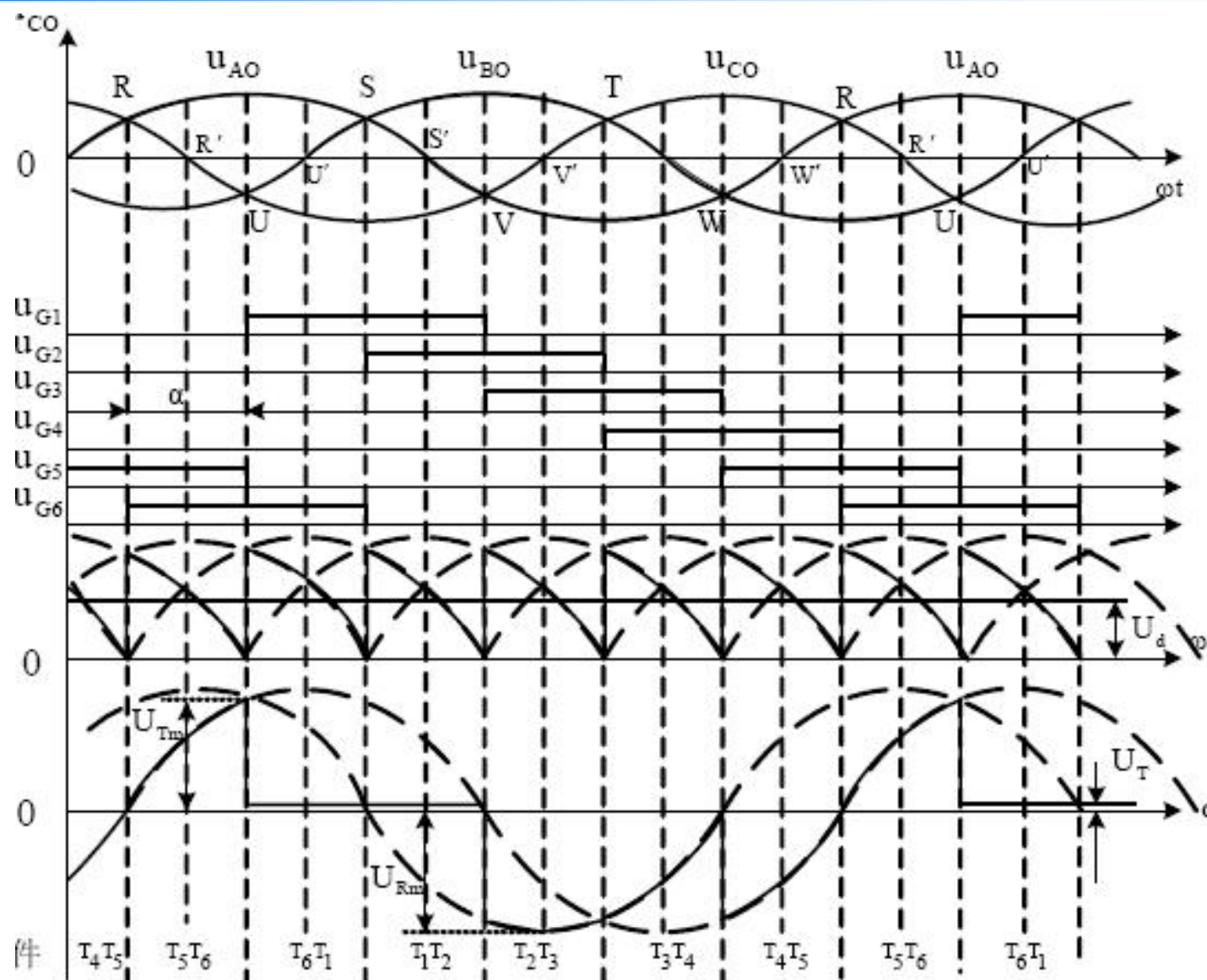
电流连续时, U_d 波形与电感 L_d 无穷大下情况一样。

由于 $L_d=0$, 输出电压 u'_d 中谐波含量明显增加。

$\alpha = \pi / 3 \text{ rad}$ 是电流连续的临界状态。

当 $\alpha > \pi / 3 \text{ rad}$ 时, 电流出现断续

$$\alpha = \pi / 3$$

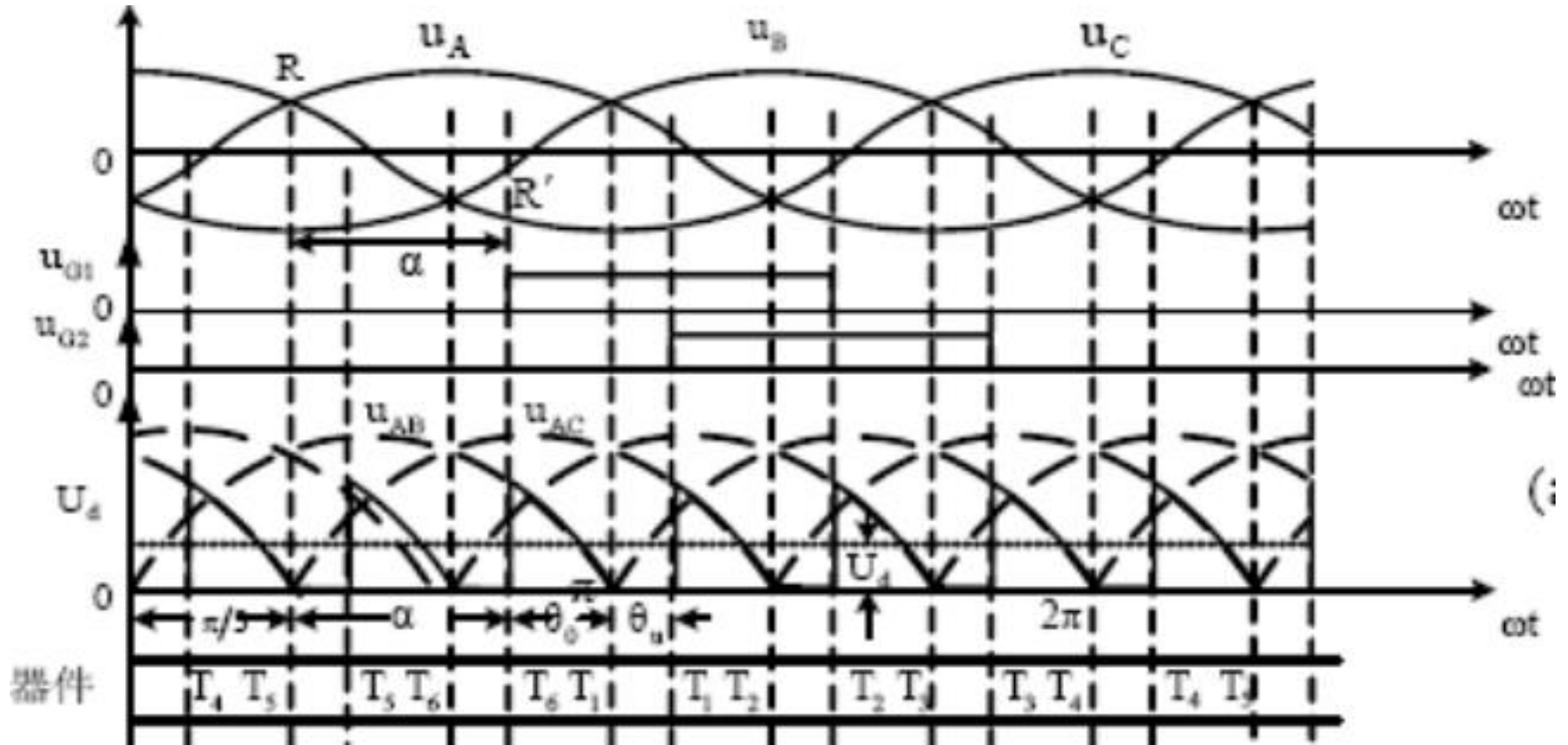


$L_d=0$

零
界
连
续

图 5.7 $\alpha = \pi / 3$ rad 时的电路波形

$$\alpha > \pi/3$$



$L_d=0$

断续

$$\alpha > \pi / 3$$

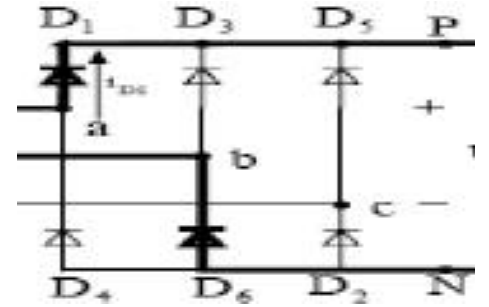
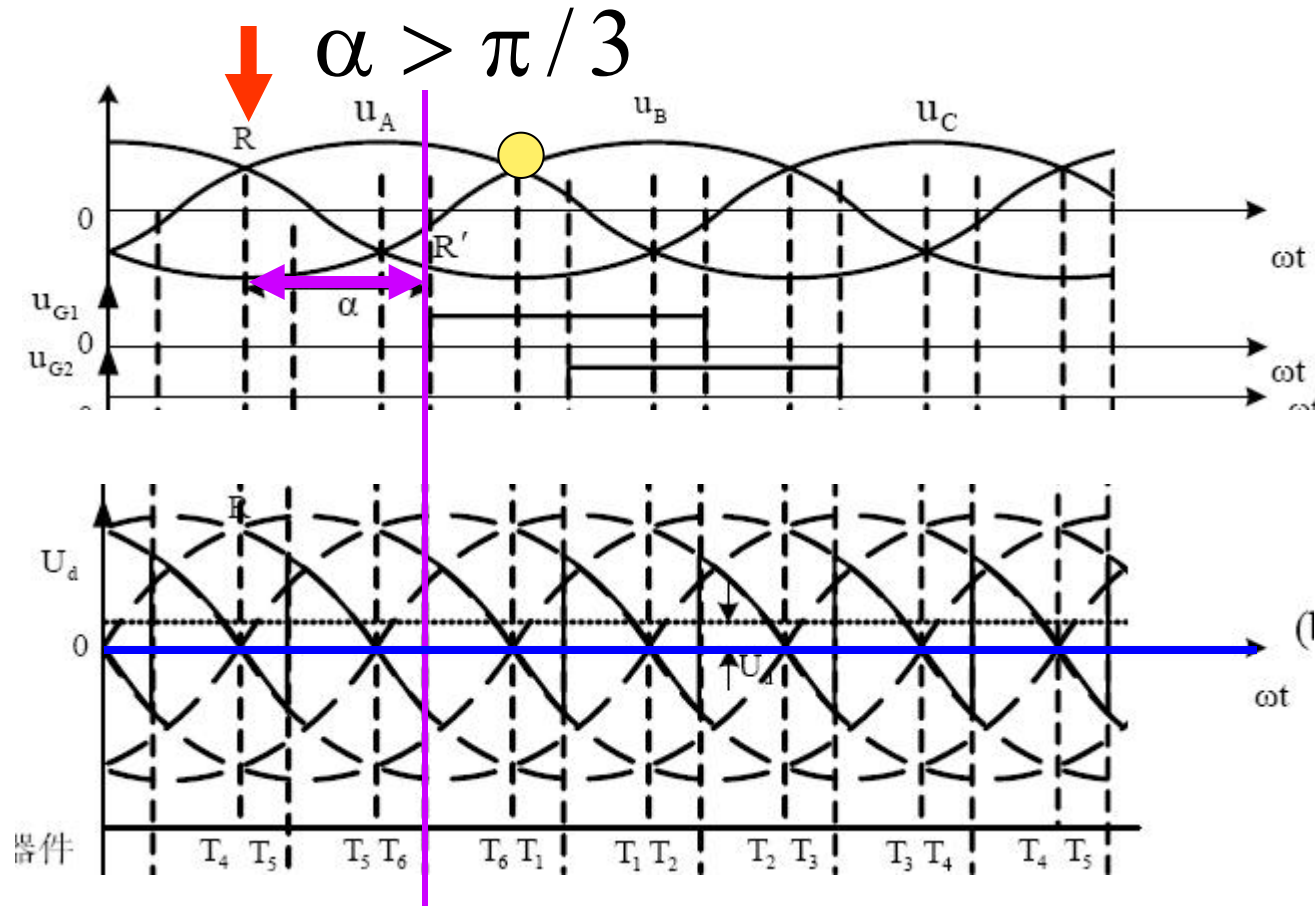
$$u_d = u'_d = \begin{cases} u_{AB} = \sqrt{6}U_2 \sin \omega t & (\pi / 3 + \alpha < \omega t < \pi) \\ 0 & (\pi < \omega t < \pi + \theta_u) \end{cases}$$

输出电压平均值

$$U_d = \frac{3}{\pi} \int_{\pi/3+\alpha}^{\pi} \sqrt{6}U_2 \sin \omega t d\omega t = U_{d0} [1 + \cos(\frac{\pi}{3} + \alpha)]$$

$$U_{d0} = (3\sqrt{6} / \pi) U_2。$$

感性负载L为有限值



CCM

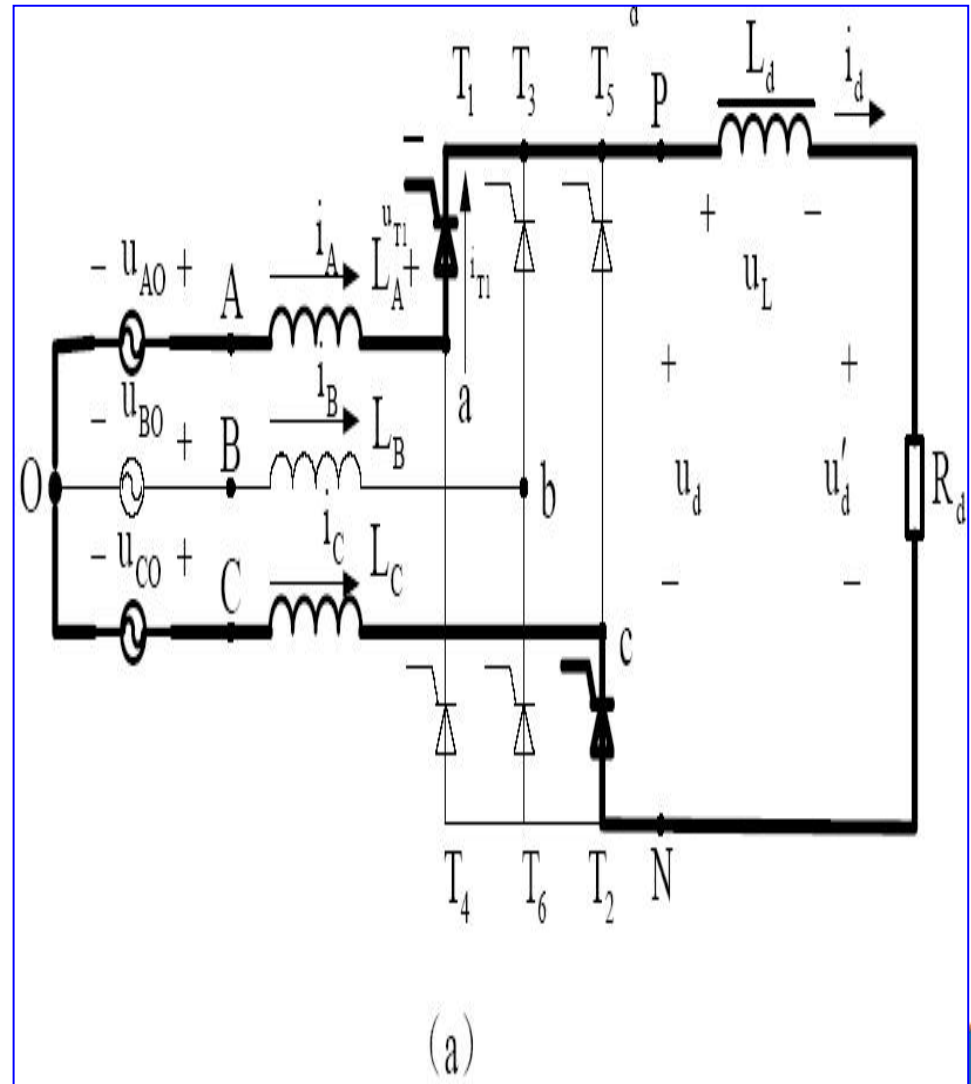
$U_d(t)$ 出现 < 0

$$u_d = u_L + u'_d = L_d \frac{di_d}{dt} + i_d R_d$$

换流过程分析

初始状态

$$\begin{cases} i_{T1}(\alpha) = I_d \\ i_{T3}(\alpha) = 0 \\ i_{T2}(\alpha) = i_{T1}(\alpha) \\ u_{BA}(\alpha) = \sqrt{6}U_2 \sin \alpha \end{cases}$$



换流过程分析

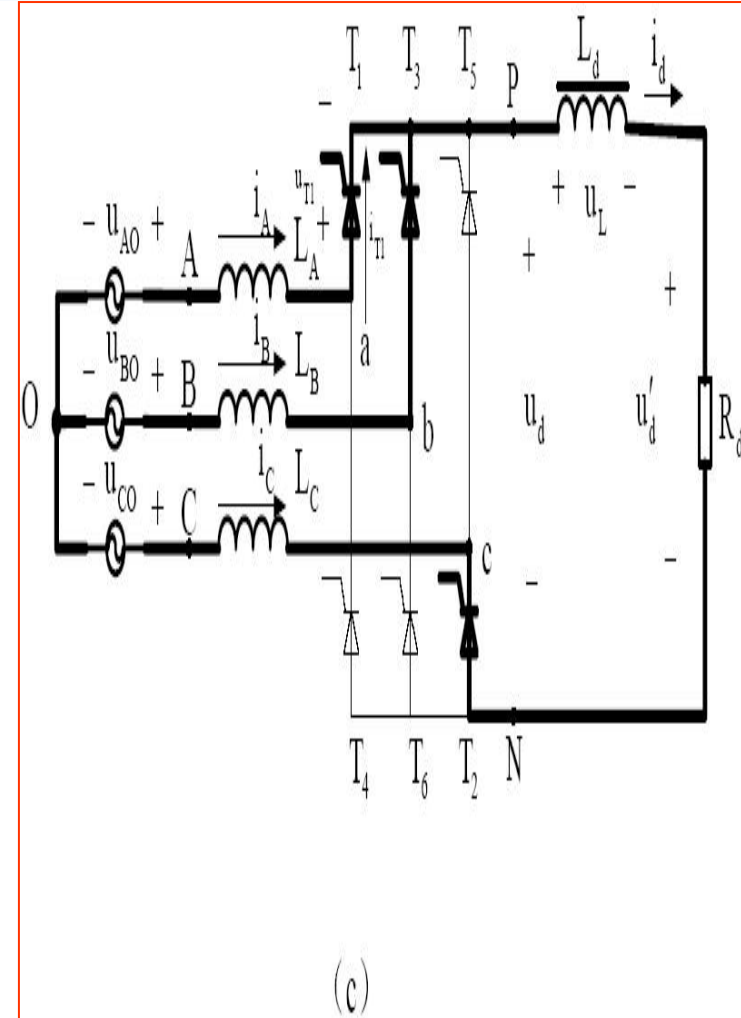
$\omega t = \alpha +$, p217 1

$$i_{T1} = i_{T1}(\alpha) - i = I_d - i, \quad i_{T3} = i$$

$$u_{BA} = \sqrt{6}U_2 \sin \omega t = u_{LB} - u_{LA} = L_B \frac{di}{dt} - L_A \frac{d(I_d - i)}{dt} = 2L_K \frac{di}{dt}$$

解出

$$\begin{aligned} i &= \int_{\alpha}^{\omega t} \frac{u_{BA}}{2\omega L_K} d\omega t + i(\alpha) = \frac{\sqrt{6}U_2}{2\omega L_K} \int_{\alpha}^{\omega t} \sin \omega t d\omega t + 0 \\ &= \frac{\sqrt{6}U_2}{2\omega L_K} (\cos \alpha - \cos \omega t) = I_m (\cos \alpha - \cos \omega t) \end{aligned}$$



换流过程分析

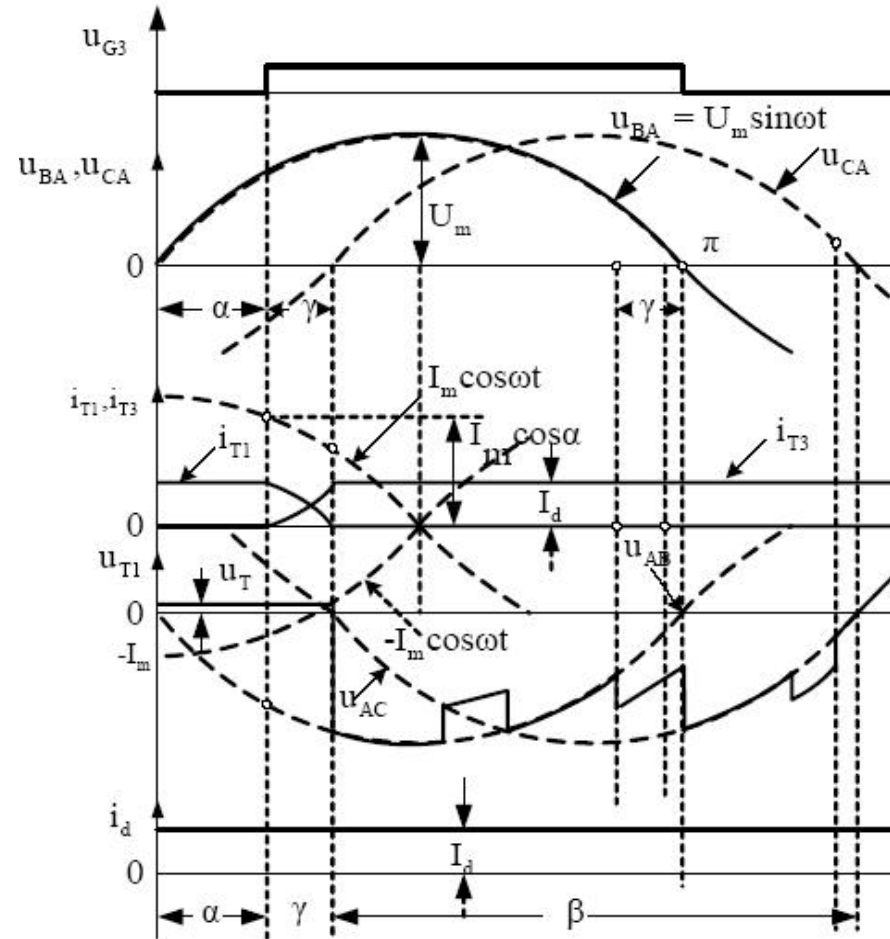
式 (5.36) 中

$$I_m = \frac{\sqrt{6}U_2}{2\omega L_K}$$

因此

$$i_{T3} = i = I_m(\cos \alpha - \cos \omega t)$$

$$i_{T1} = i_{T1}(\alpha) - i = I_d - I_m(\cos \alpha - \cos \omega t)$$



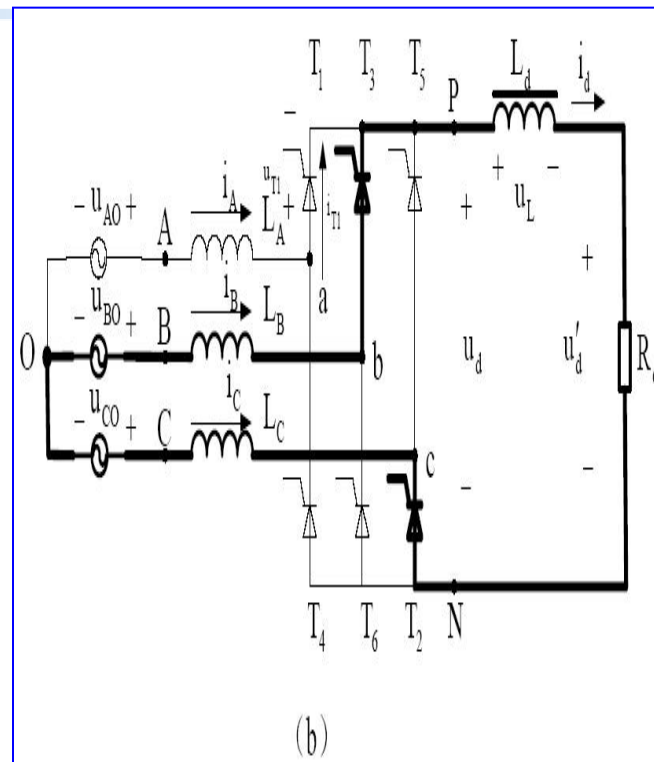
P218 1

换流过程分析

P218 2

P219 1

当 $\omega t = \alpha + \gamma$ 时, $i_{T3} = I_d$,



$$i_{T3} = I_d = I_m [\cos \alpha - \cos(\alpha + \gamma)]$$

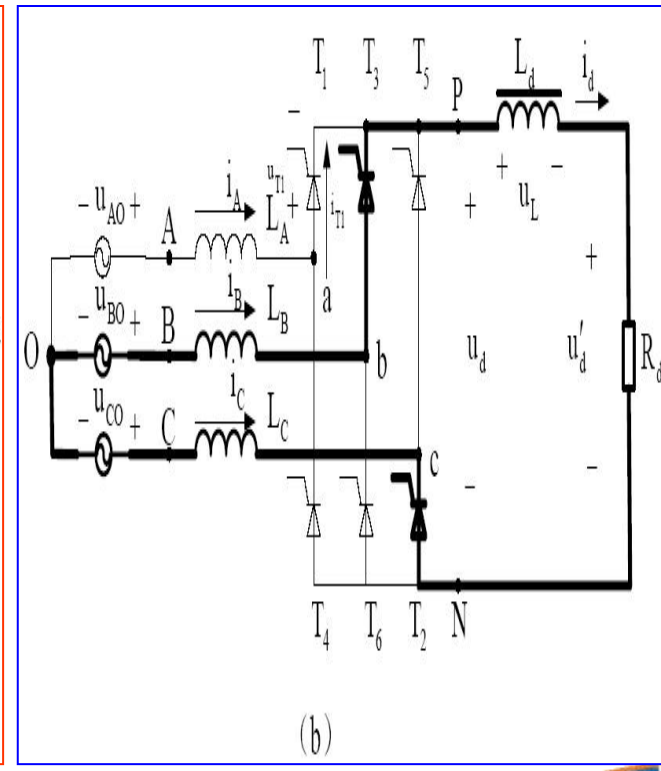
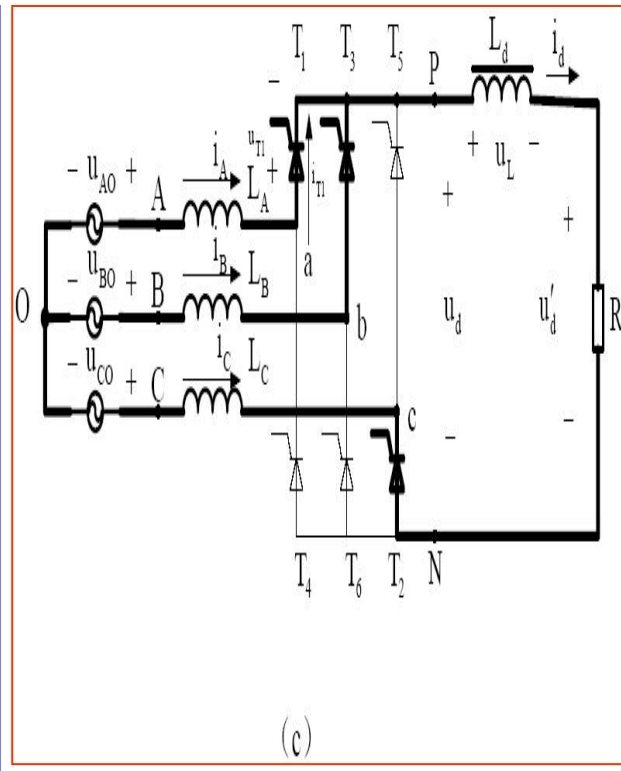
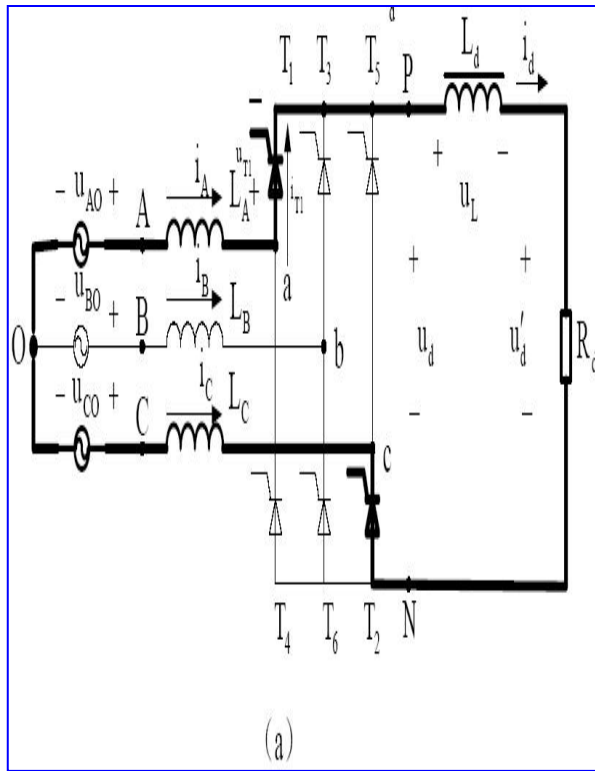
叠流角

$$\gamma = \arccos[\cos \alpha - I_d / I_m] - \alpha$$

当控制角 $\alpha = 0$ 时,

$$\gamma = \gamma_0 = \arccos(1 - I_d / I_m)$$

换流过程



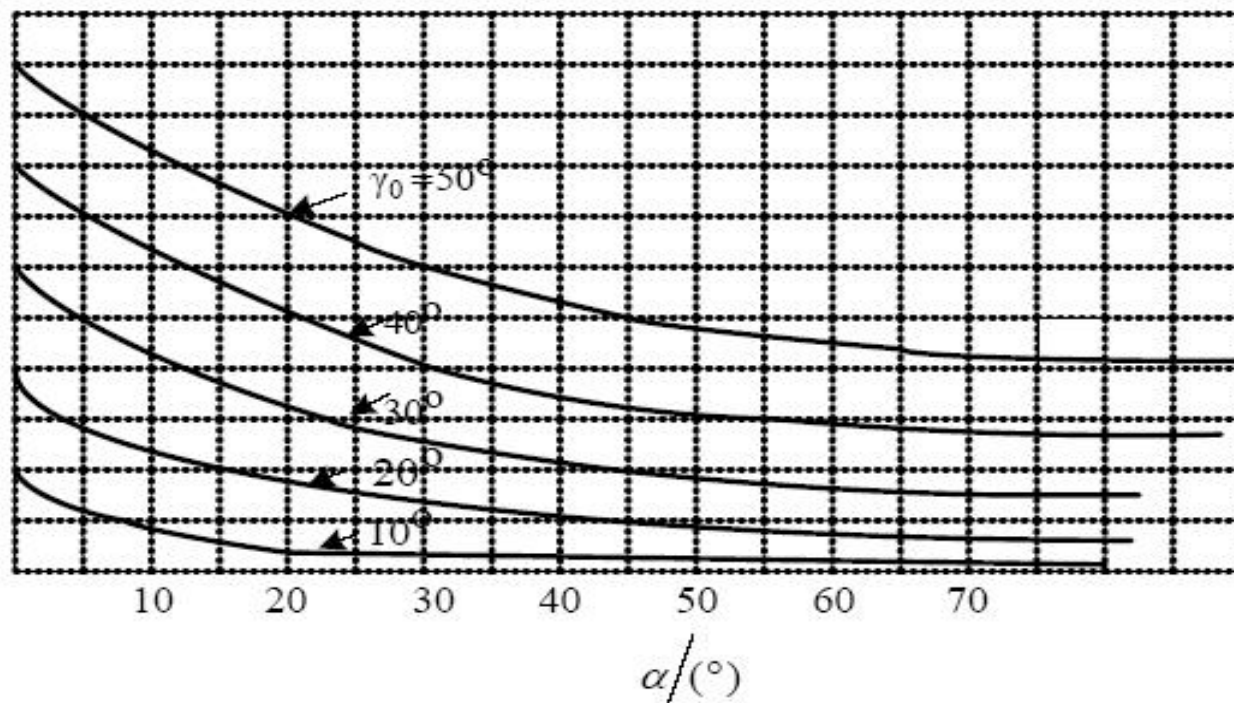


图 5.14 叠流角 γ 与控制角 α 之间的关系

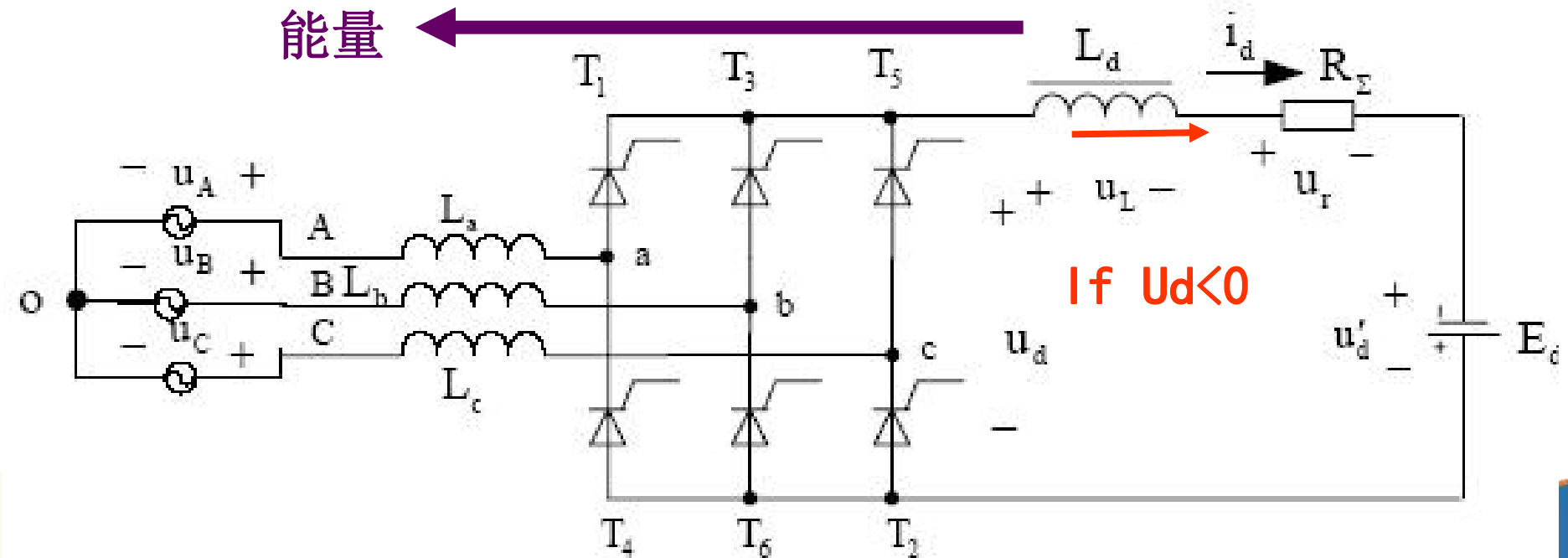
在 $\alpha < \pi/2$ 的范围内, γ 随 α 的增大而减小

换流电流的变化率与换流期中换流电压有关

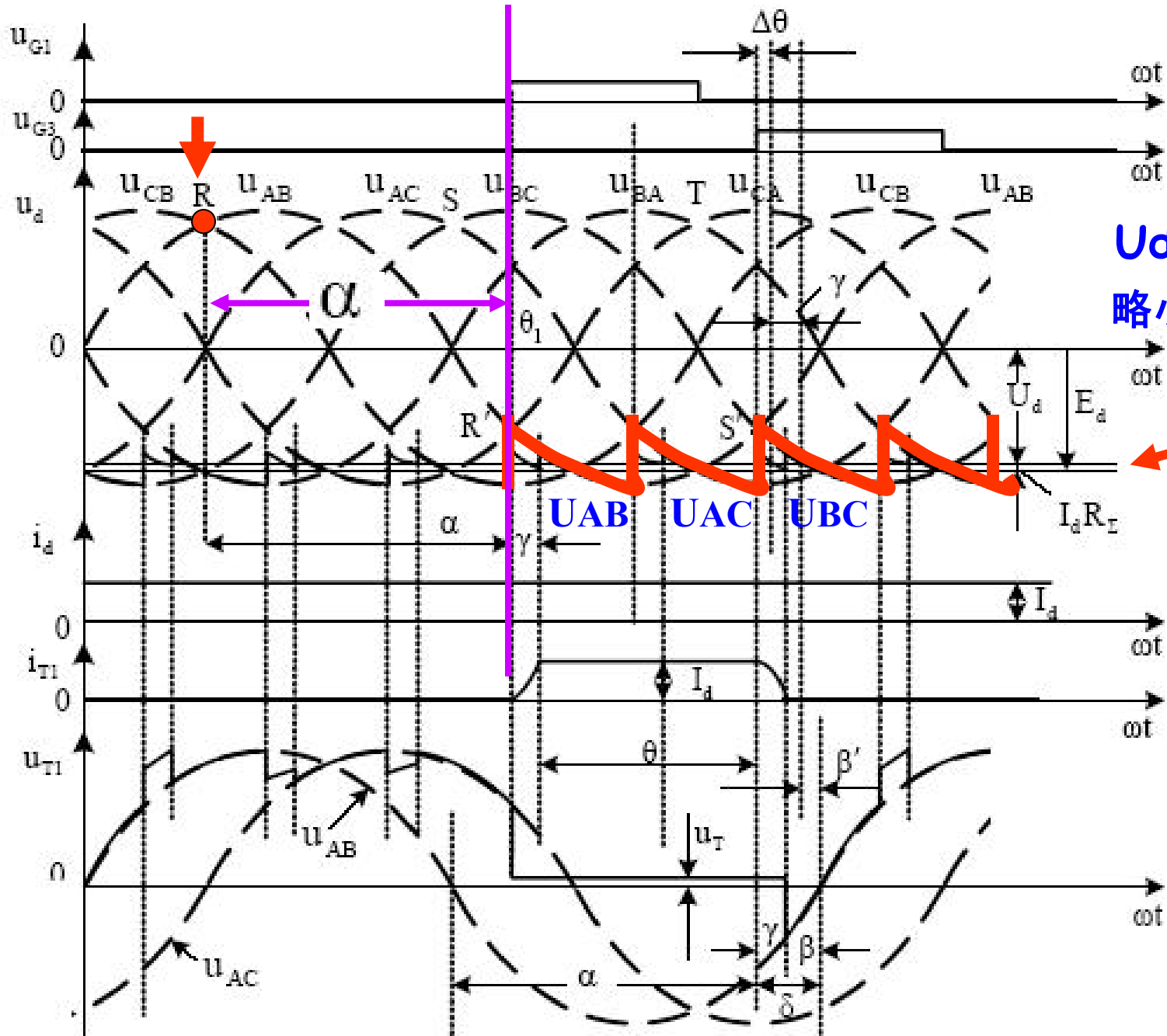
换流电压高时, 换流电流的变化率大, 则叠流角 γ 小

4.2.4 有源逆变

P223 1



$$\alpha = 150^\circ$$



负载
释放
能量

P225 1

已知

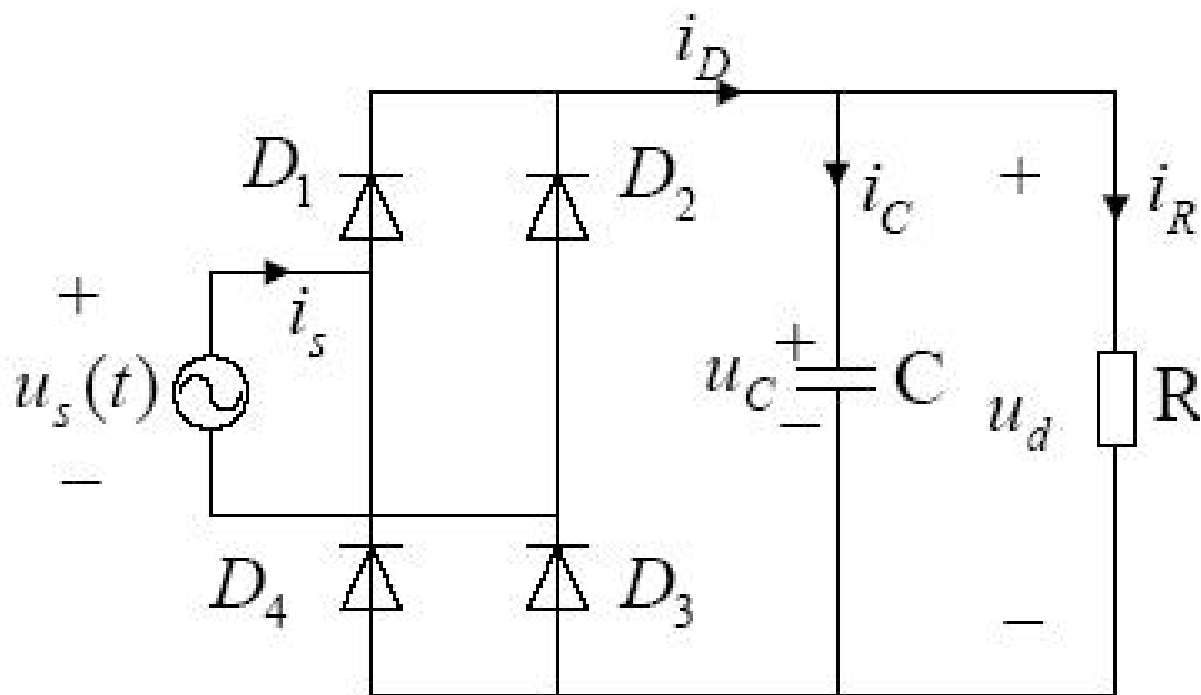
$$E_d = I_d R_\Sigma - U_d$$
$$I_d = \frac{E_d + U_d}{R_\Sigma} = \frac{E_d + U_{d0} \cos \alpha}{R_\Sigma}$$

P226 1

P226 2

图 5.19

5.3 电容滤波的不控整流电路



单相桥式不控整流带电容
滤波的整流电路

C 很大，以使电容 C 两端的电压脉动不大

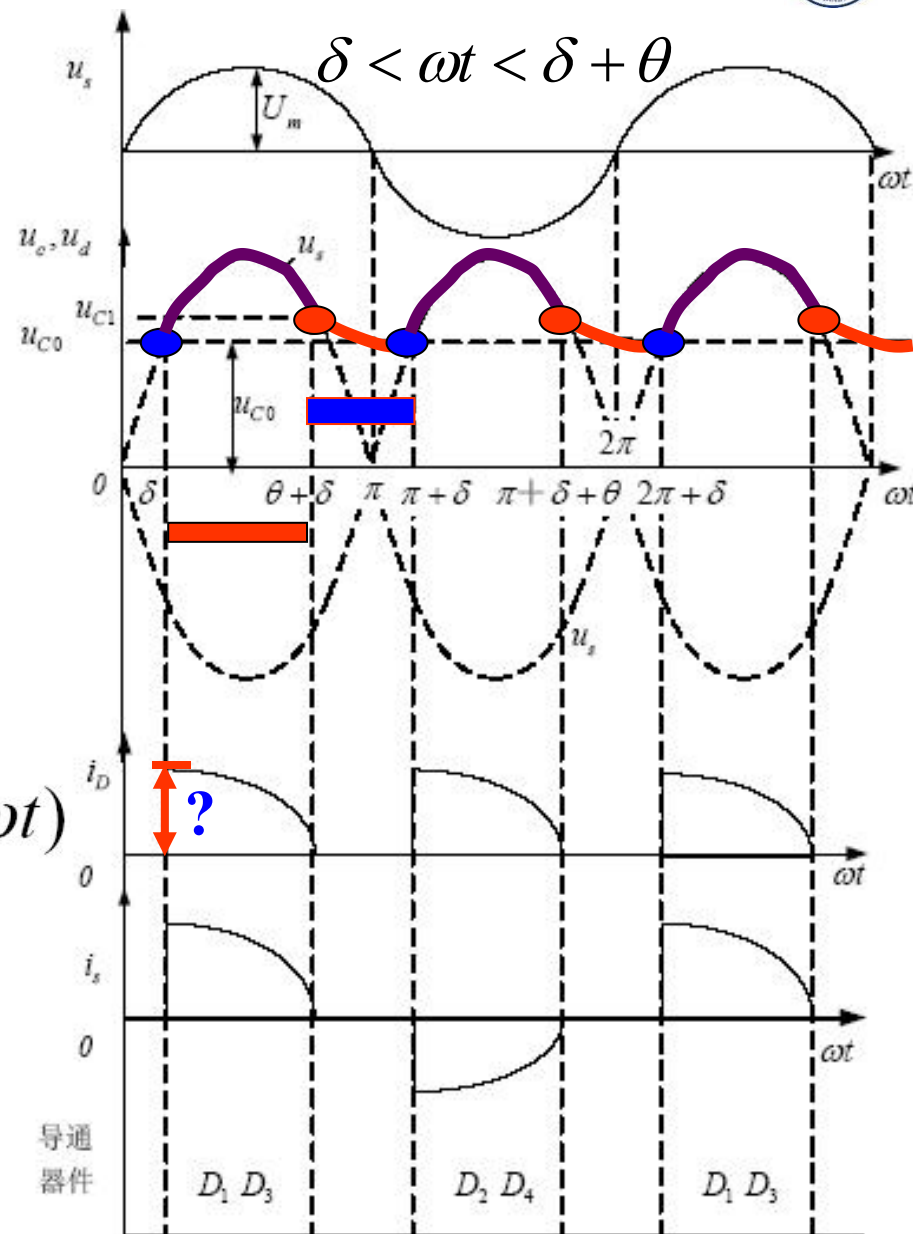
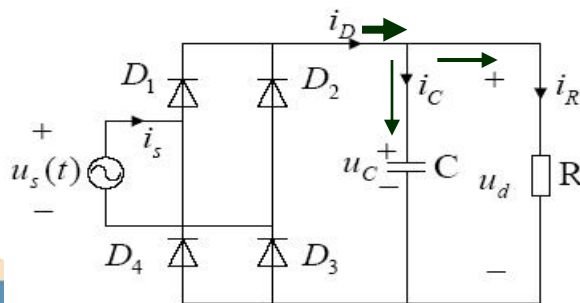
1. D1 D3 导通模式

$$u_s(\omega t) = U_m \sin(\omega t) =$$

$$u_d = u_c = U_{c0} + \frac{1}{C} \int_0^t i_c dt$$

$$\begin{aligned} \omega t = \delta \text{ 时 } U_{s0} = U_{c0} = \\ = U_{d0} = U_m \sin \delta \end{aligned}$$

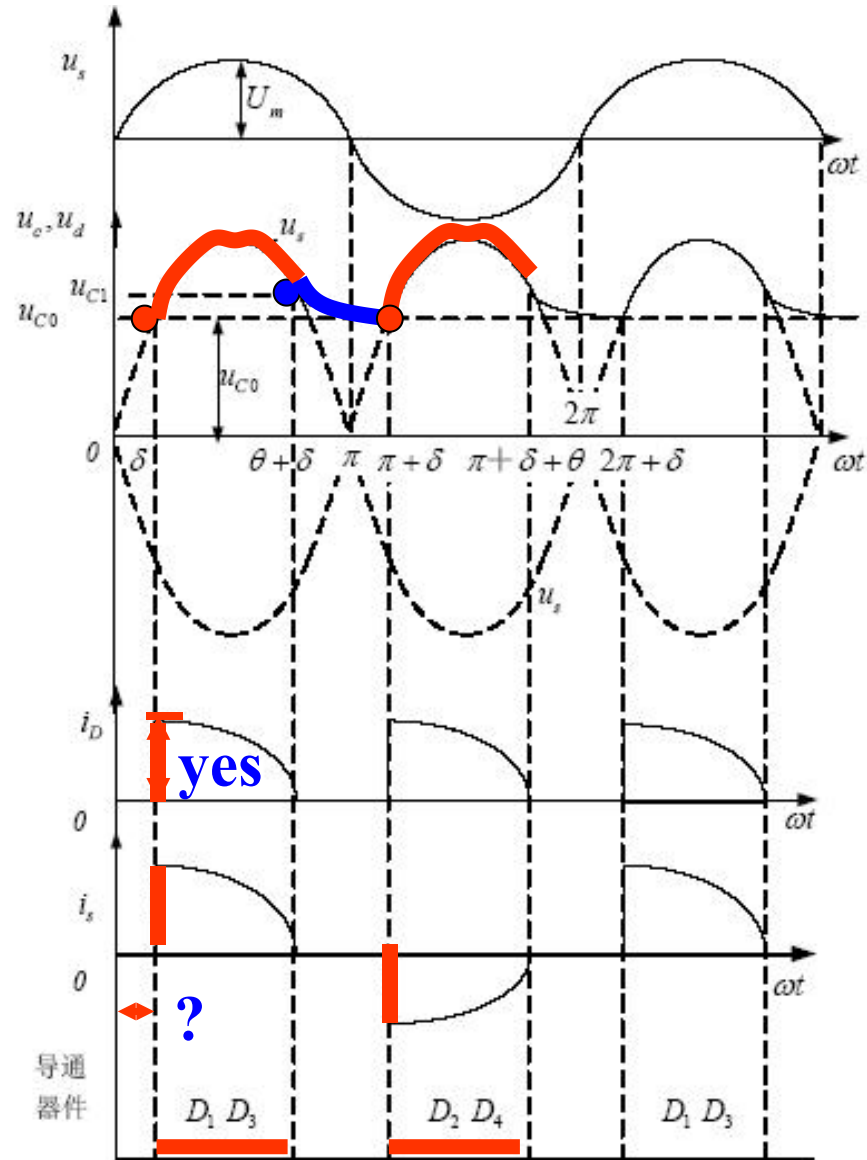
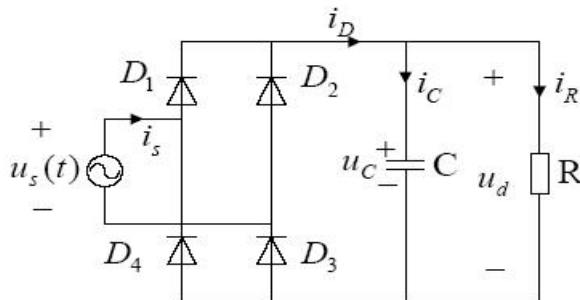
$$i_c = C \frac{du_c}{dt} = C \frac{du_s}{dt} = U_m \omega C \cos(\omega t)$$



负载电流

$$i_R = \frac{u_d}{R} = \frac{u_s}{R} = \frac{U_m}{R} \sin(\omega t)$$

$$i_D = i_C + i_R = U_m \omega C \cos(\omega t) + \frac{U_m}{R} \sin(\omega t)$$



求解导通角:

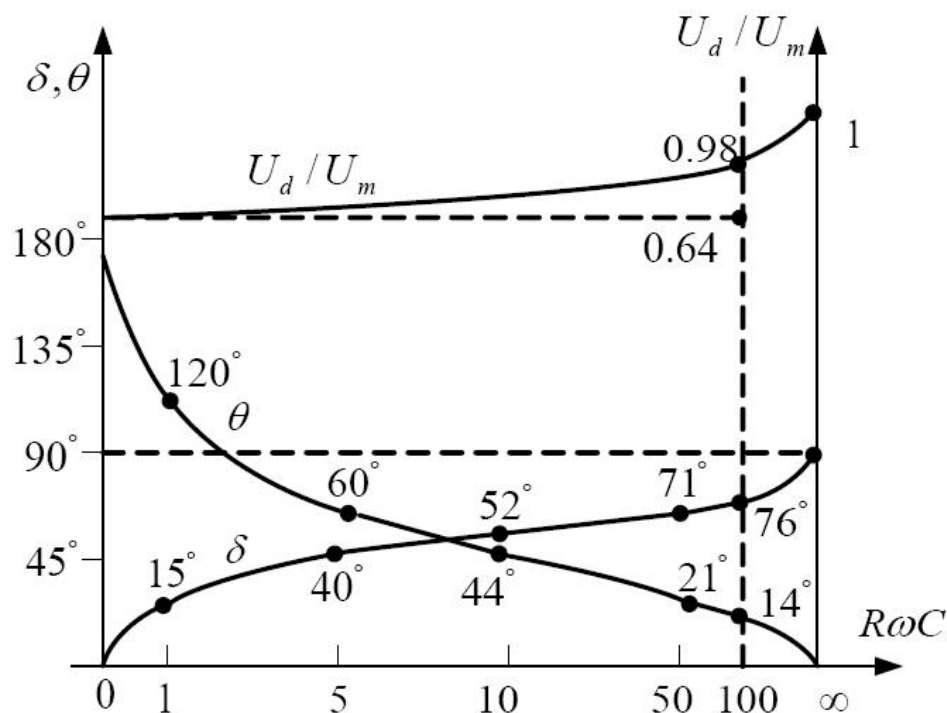
$$\tan(\delta + \theta) = -R\omega C$$

$$\theta = \pi - \delta - \arctan(R\omega C)$$

$$\sin(\delta + \theta) = R\omega C / \sqrt{1 + (R\omega C)^2}$$

RC越大，导通角越小，起始角接近90度处，整流输出直流电压越高。

当RC无穷大时： $U_d = U_m$ ，导通角接近零度



2. 二极管均截止模式 ($\theta + \delta \leq \omega t \leq \pi + \delta$)

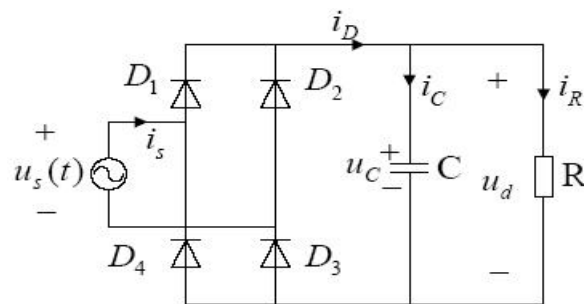
在 $\omega t = \theta + \delta$ 时 $i_D = 0$ ，二极管 D_1 、 D_3 截止：

电容 C 向负载 R 供电 U_{C1} 开始按指数规律下降

$$u_C = u_d = U_m \sin(\delta + \theta) e^{-\frac{\omega t - \theta - \delta}{R\omega C}}$$

整流波形的周期为 π ，当 $\omega t = \pi + \delta$

u_C 应该衰减到 $\omega t = \delta$ 时的 U_{C0}



$$U_m \sin(\delta) = U_m \sin(\delta + \theta) e^{-\frac{\omega t - \theta}{R\omega C}} = U_m \frac{R\omega C}{\sqrt{1 + (R\omega C)^2}} e^{-\frac{\arctan(R\omega C) + \delta}{R\omega C}}$$

$$\begin{aligned} U_m \sin(\delta) &= U_m \sin(\delta + \theta) e^{-\frac{\omega t - \theta}{R\omega C}} \\ &= U_m \frac{R\omega C}{\sqrt{1 + (R\omega C)^2}} e^{-\frac{\arctan(R\omega C) + \delta}{R\omega C}} \end{aligned}$$

得：

求出起始导电角 δ

$$\frac{R\omega C}{\sqrt{1 + (R\omega C)^2}} e^{-\frac{\arctan(R\omega C) + \delta}{R\omega C}} = \sin \delta$$

输出电压为

$$U_d = \frac{1}{\pi} \int_{\delta}^{\theta+\delta} U_m \sin(\omega t) d(\omega t) + \frac{1}{\pi} \int_{\theta+\delta}^{\pi+\delta} U_m \sin(\theta + \delta) e^{-\frac{\omega t - \theta - \delta}{R\omega C}} d(\omega t)$$

$$= \frac{2U_m}{\pi} \sin \frac{\theta}{2} \left[\sin(\delta + \frac{1}{2}\theta) + R\omega C \cos(\delta + \frac{1}{2}\theta) \right]$$

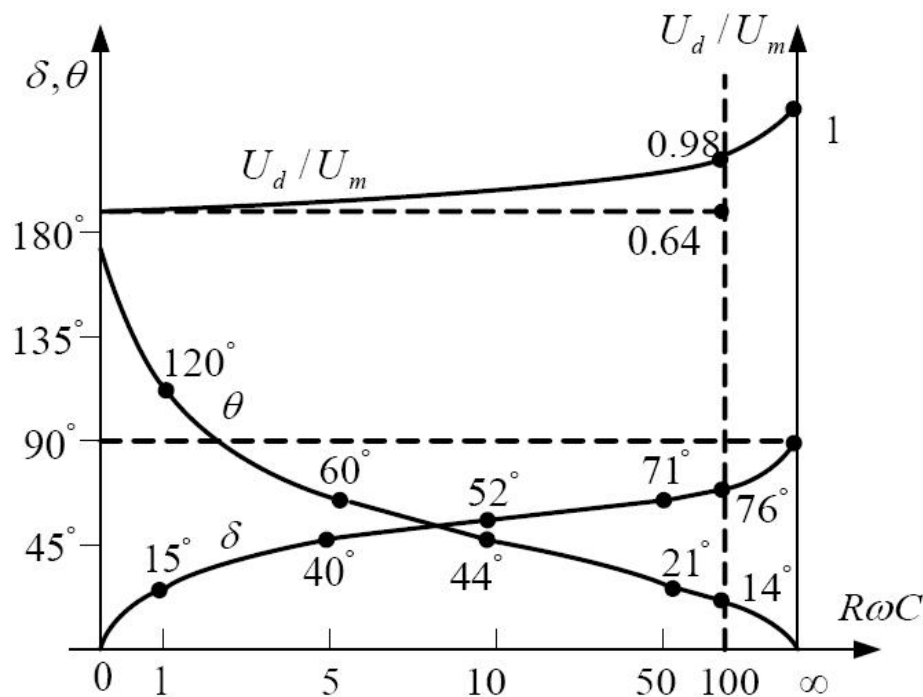


表 5.1 起始导电角 δ 、导电角 θ 、 U_d/U_m 与 $R\omega C$ 函数关系

$R\omega C$	0 ($C=0$, 电阻负载)	1	5	10	40	100	500	∞ (空载)
δ°	0	14.5	40.3	51.7	69	75.3	83.7	90
θ°	180	120.5	61	44	22.5	14.3	5.4	0
U_d/U_m	0.64	0.68	0.83	0.90	0.96	0.98	0.99	1

若 $C=0$ ，电阻性负载，由 (5.67)，(5.71) 和 (5.72) 式得到

$$\delta = 0^\circ, \theta = 180^\circ, U_d = 2/\pi \cdot U_m = 0.64U_m$$

若 $R=\infty$ ，空载，则

$$\delta = 90^\circ, \theta = 0^\circ, U_d = U_m$$

考虑电源变压器漏感和引线漏感 L_S 或直流侧电感 L_d

P231 1

